

06.2;06.3;07

©1995

**УЗКОПОЛОСНЫЕ ИК ФОТОДИОДЫ
(1.0–1.2 МКМ) НА НАПРЯЖЕННЫХ
СЕЛЕКТИВНЫХ ЭПИТАКСИАЛЬНЫХ
СТРУКТУРАХ GaAs/InGaAs**

Л.М.Канская, А.Ю.Куликов

Для создания чувствительных быстродействующих фотодиодов (ФД) на диапазоне длин волн 1.0–1.2 мкм может быть использована система тройных твердых растворов InGaAs [1–3], обладающая некоторыми потенциальными, электрофизическими и технологическими преимуществами перед системой InGaAsP.

При использовании в качестве подложки GaAs величина рассогласования параметров кристаллических решеток между GaAs и твердым раствором с соответствующей шириной запрещенной зоны составит примерно 1%. Критическая толщина напряженных InGaAs когерентных (без дислокаций несоответствия) слоев при таком рассогласовании не превышает 300 Å [4]. В то же время для эффективного поглощения света толщина активного узкозонного слоя не должна быть менее двух обратных величин коэффициента поглощения, т. е. около 2 мкм. Несколько большую величину должна иметь область пространственного заряда (ОПЗ), чему соответствует концентрация свободных носителей на уровне 10^{15} см^{-3} . То есть гетероструктуры InGaAs/GaAs для *p-i-n* ФД принципиально не могут не содержать дислокаций несоответствия.

В данной работе предпринята попытка реализовать достоинства системы InGaAs и минимизировать негативное влияние механических напряжений путем их уменьшения и локализации в пассивных областях структур за счет сочетания селективного эпитаксиального роста пленок и формирования активной зоны в малонапряженной области между близкими по составу буферными слоями. Кроме того, такая геометрия структур дает возможность сформировать узкую спектральную полосу чувствительности ФД к ИК излучению и варьировать в некоторых пределах положение ее максимума. Функцией ширины этого пика является соотношение сигнал/шум (при немонохроматическом сигнале), которое для узкополосных ФД может достигать высоких значений уже при комнатной температуре.

В быстродействующих $p-i-n$ ФД геометрические размеры минимизируют таким образом, чтобы время нарастания и релаксации фототока за счет RC цепочки не превышало времени пролета носителей заряда через i -слой. Кроме того, уменьшение размеров приборов приводит к снижению величины темнового генерационного тока. Оптимизированный таким образом размер Φ Д задает площадь незащищенных индивидуальных окон на подложке селективной эпитаксии. Частота повторения окон определяется по максимальной допустимой величине изгибающих напряжений для подложки в целом.

В настоящей работе экспериментально исследованы спектральные зависимости фототоков $p-i-n$ ФД от толщины ближайшего к подложке буферного слоя InGaAs, имеющего малое рассогласование параметров решетки с активным слоем InGaAs. Структуры ФД представляют собой пятислойные композиции (рис. 1), полученные методом газофазной эпитаксии в открытой хлоридной системе на подложках GaAs n -типа, с ориентацией (100), разориентированных на $3-4^\circ$ в направлении (110), селективно максированных SiO_2 пленкой:

- 1 — буфер GaAs, n -тип (10^{18} см^{-3}), толщина $D = 2.5-3$ мкм,
- 2 — буфер $\text{In}_{0.18}\text{GaAs}$, n -тип (10^{17} см^{-3}), $D = 0.1-2$ мкм,
- 3 — i -слой $\text{In}_{0.2}\text{GaAs}$, p -тип (10^{15} см^{-3}), $D = 1.0-2$ мкм,
- 4 — буфер $\text{In}_{0.18}\text{GaAs}$, p -тип (10^{17} см^{-3}), $D = 0.5$ мкм,
- 5 — контактный GaAs, p -тип (10^{18} см^{-3}), $D = 2.0$ мкм.

Средняя величина суммарных по подложке изгибающих механических напряжений (при их фиксированной степени релаксации) пропорциональна отношению площадей SiO_2/GaAs , которое составляло величину порядка 10.

Расчетное значение постоянной времени RC цепи для ФД площадью 10^{-4} см^2 с шириной ОПЗ около 2 мкм не превы-

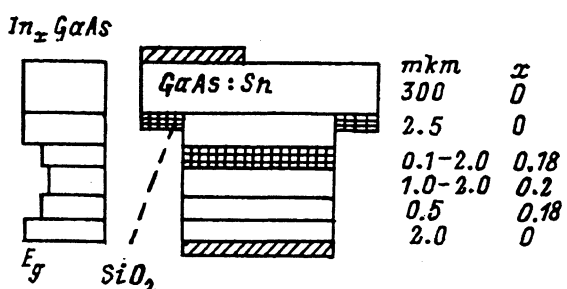


Рис. 1. Схема структуры фотодиодов. E_g — ширина запрещенной зоны, X — содержание In в InGaAs.

шает 50 пс при нагрузке 50 Ом. Время дрейфа носителей через такую ОПЗ в InGaAs со скоростью 10^5 см/с составляет величину 20 пс.

В эксперименте образцы освещались перпендикулярно слоям со стороны подложки. Спектральные кривые фотоответа измерялись при комнатной температуре с помощью монохроматора МДР-2 стандартным методом синхронного детектирования. Источником света служила галогенная лампа накаливания.

Буферные слои InGaAs предназначены для пространственного отделения активной области поглощения света и разделения носителей заряда с несовершенной областью формирования сеток дислокаций несоответствия на границах с GaAs. Кроме того, ближайший к подложке слой InGaAs поглощает коротковолновое излучение за пределами ОПЗ, формируя тем самым узкий спектральный пик фоточувствительности ФД.

При увеличении этого слоя от 0.1 до 2 мкм спектр фотоотклика ФД без внешнего электрического смещения имеет тенденцию к сужению и возрастанию амплитуды в своей узкозонной части. Такой рост амплитуды коррелирует с уменьшением тока утечки обратносмещенного $p-n$ перехода и связывается нами с увеличением расстояния i -слоя от границы GaAs-InGaAs (рис. 2).

Следует отметить, что при неселективном осаждении аналогичных структур в ФД на их основе наблюдаются бо-

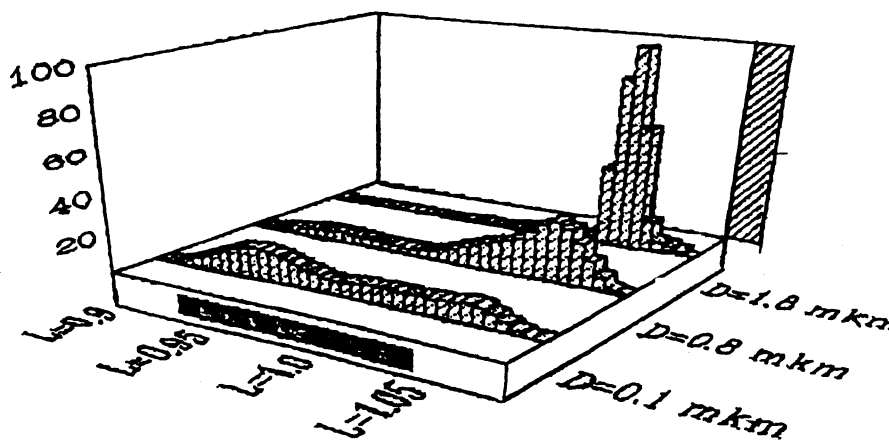


Рис. 2. Спектры фоточувствительности ФД при различных толщинах буферного слоя InGaAS.

лее высокие значения темнового тока (до $5 \cdot 10^{-6}$ против 10^{-7} А) на несмещенном $p-n$ переходе, что, очевидно, связано с более высокой плотностью центров термогенерации в ОПЗ. Кроме того, морфология слоев InGaAs с удельным атомным содержанием индия $x > 0.2$ и кривизна подложки становятся малопригодными для планарной технологии, в то время как на селективно выращенных структурах ($10^{-1} \times 10^{-1}$ мм) с $x < 0.4$ сохраняется зеркальная поверхность и удовлетворительный уровень изгибающих напряжений.

Совокупность принципов получения напряженных структур узкополосных ФД с максимумом чувствительности 1.05 мкм может быть экстраполирована на диапазон длин волн до 1.2 мкм, причем при сужении полосы чувствительности возрастает совершенство области локализации активного слоя.

В заключение авторы выражают признательность Ю.В. Жиляеву и В.В. Криволапчуку за интерес к работе.

Список литературы

- [1] InGaAs — photodiode Components // Phys. World. 1993. V. 6. N 6. P. 75.
- [2] Lester L.F., Hwang K.C. et al. // IEEE Photon. Technol. Lett. 1993. V. 5. N 5. P. 511–514.
- [3] Wada O., Nobuhara H. et al. // Appl. Phys. Lett. 1989. V. 54. N 1. P. 16–17.
- [4] Мильвидский М.Г., Освенский В.Б. В кн.: Структурные дефекты в эпитаксиальных слоях полупроводников. М.: Металлургия, 1985. С. 21.

Физико-технический
институт им. А.Ф. Иоффе РАН
Санкт-Петербург

Поступило в Редакцию
8 декабря 1994 г.